



УДК 532.529.5

# МОДЕЛИРОВАНИЕ ЛОКАЛИЗОВАННОЙ СТРАТИФИКАЦИИ ДИСПЕРСНОЙ ПРИМЕСИ В ТЕЧЕНИЯХ С ГИДРОДИНАМИЧЕСКИМИ ОСОБЕННОСТЯМИ<sup>1</sup>

*Н. А. Лебедева*

НИИ Механики МГУ им. М.В. Ломоносова, Москва

**Аннотация.** Рассматриваются задачи о возникновении мезомасштабных неоднородностей дисперсной примеси в течениях запыленного газа, содержащих гидродинамические особенности. В качестве примеров исследуются аэродисперсные течения вблизи критической точки при неортогональном столкновении вязких потоков; течение вблизи твердой стенки; течение с локализованной завихренностью; нестационарное течение со стационарной точкой.

**Ключевые слова:** дисперсный поток, критическая точка, завихренность, стационарная точка, стратификация, аккумуляция, гидродинамическая особенность, особенность концентрации

---

## 1 Введение

В последние годы в механике многофазных сред особый интерес представляют исследования мезомасштабных неоднородностей концентрации дисперсной фазы. Масштаб таких неоднородностей много больше размера дисперсного включения, но много меньше макромасштаба задачи. В работе рассматриваются связи между кинематическими особенностями гидродинамических полей несущей фазы и картинами распределения концентрации примеси. В качестве примеров исследуются двумерное течение вблизи критической точки в вязкой жидкости при неортогональном

---

<sup>1</sup> Работа выполнена при финансовой поддержке Российского фонда фундаментальных исследований (проект № 05-01-00502)

столкновении двух потоков и при натекании потока на твердую стенку; одномерное нестационарное течение вблизи стационарной точки; двумерное стационарное вихревое течение, описываемое известным решением Кельвина типа «кошачий глаз».

## 2 Течение вблизи критической точки

Рассматривается плоское стационарное течение вблизи критической точки, образующейся при соударении двух потоков с вязкостями  $\mu_1$  и  $\mu_2$  и плотностями  $\rho_1$  и  $\rho_2$ , которые натекают под произвольными углами  $\varphi_1$  и  $\varphi_2$  и взаимодействуют по прямой линии (см. Рис. 1(a)). Первый поток содержит сферические дисперсные включения радиуса  $\sigma$  и массы  $m$ . Течение потоков вдали от критической точки выходит на течение идеальной жидкости вблизи произвольной вихревой критической точки, определяемое скоростью растекания  $C$  и удвоенным модулем завихренности  $B$ . Используя двухконтинуальную модель запыленного газа [1] с силой межфазного взаимодействия в форме закона Стокса, уравнения движения и неразрывности и граничные условия для обоих потоков несущей фазы и дисперсной фазы записываются в следующем безразмерном виде ( $i = 1, 2$ ):

$$\begin{aligned}
 \nabla \cdot \mathbf{v}_i &= 0, & \nabla \cdot (\mathbf{v}_s n_s) &= 0, \\
 (\mathbf{v}_i \cdot \nabla) \mathbf{v}_i &= -\frac{1}{\rho^{(i-1)}} \nabla p_i + \left(\frac{\mu}{\rho}\right)^{(i-1)} (\nabla^2 \mathbf{v}_i - \alpha \beta n_s (\mathbf{v}_i - \mathbf{v}_s)), \\
 (\mathbf{v}_s \cdot \nabla) \mathbf{v}_s &= \beta \mu^{(i-1)} (\mathbf{v}_i - \mathbf{v}_s), \\
 u_1(x, 0) &= u_2(x, 0), & v_1(x, 0) &= v_2(x, 0) = 0, \\
 y = 0 : \frac{\partial u_1}{\partial y} &= \mu \frac{\partial u_2}{\partial y}, & -p_1 + 2 \frac{\partial v_1}{\partial y} &= -p_2 + 2 \mu \frac{\partial v_2}{\partial y}, \\
 y \rightarrow \infty : & u_1 = x + \lambda y, & v_1 &= -y, \\
 y \rightarrow -\infty : & u_2 = \chi_1 x + \chi_2 y, & v_2 &= -\chi_1 y, \\
 y = y_0 : & u_s = x + \lambda y_0, & v_s &= -y_0, & n_s &= 1, \\
 \rho &= \frac{\rho_2}{\rho_1}, & \mu &= \frac{\mu_2}{\mu_1}, & \alpha &= \frac{m n_{s0}}{\rho_1}, & \beta &= \frac{6 \pi \sigma \mu_1}{m C_1}, \\
 \lambda &= \frac{B_1}{C_1}, & \chi_1 &= \frac{C_2}{C_1}, & \chi_2 &= \frac{B_2}{C_1}.
 \end{aligned} \tag{1}$$

Здесь  $\mathbf{v}_i$  и  $p_i$  — скорости и давления потоков;  $\mathbf{v}_s$  и  $n_s$  — скорость и числовая концентрация дисперсной фазы;  $C_i$  и  $B_i$  — скорость растекания и удвоенный модуль завихренности, связанные с углами  $\varphi_1$  и  $\varphi_2$  как  $\operatorname{tg} \varphi_1 = 2/\lambda$  и  $\operatorname{tg} \varphi_2 = -2\chi_1/\chi_2$ ;  $\alpha$  и  $\beta$  — относительная массовая концентрация и параметр инерционности частиц. В качестве масштабов длины, скорости, давления и числовой концентрации частиц используются  $(\mu_1/C_1 \rho_1)^{1/2}$ ,

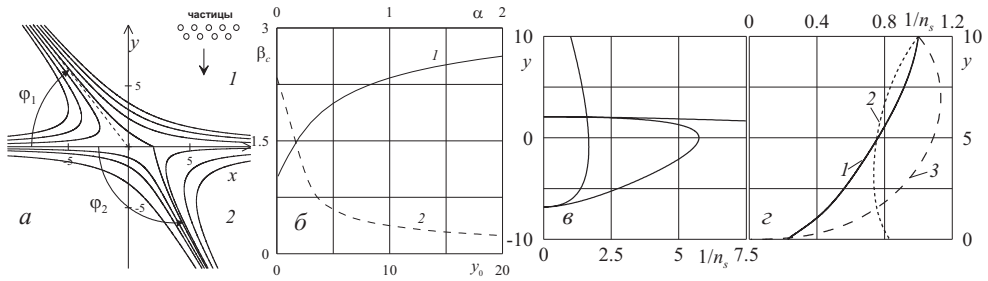


Рис. 1. а) Система координат и линии тока несущей фазы при  $\rho = 1$ ,  $\mu = 10$ ,  $\lambda = 1.6$ ,  $\chi_2 = 1.2$ ; б) Течение вблизи стенки:  $\beta_c(y_0)$  при  $\alpha = 0$  (1) и  $\beta_c(\alpha)$  при  $y_0 = 10$  (2); в) Значение  $1/n_s$  для столкновения двух потоков при  $\mu = 10$ ,  $\rho = 1$ ,  $\lambda = 1.6$ ,  $\chi_2 = 1.2$ ,  $\beta = 0.5$ ,  $y_0 = 10$ ; г) Значение  $1/n_s$  для течения вблизи стенки при  $\lambda = 1.5$ ,  $\alpha = 1$ ,  $\beta = 5$ ,  $y_0 = 10$  (1) и  $\lambda = 2$ ,  $\alpha = 0.25$ ,  $\beta = 1$ ,  $y_0 = 10$  (2), при столкновении двух потоков для  $\mu = 5$ ,  $\rho = 1$ ,  $\lambda = 3.66$ ,  $\chi_2 = -7.32$ ,  $\beta = 5$ ,  $y_0 = 10$  (3)

$(\mu_1 C_1 / \rho_1)^{1/2}$ ,  $\mu_1 C_1$  и  $n_{s0}$  — концентрация дисперсной примеси вдали от критической точки соответственно. Граничные условия для фазы частиц ставятся на конечном расстоянии  $y_0$  от линии раздела двух потоков.

При  $\mu \rightarrow \infty$ , что соответствует течению вязкого запыленного газа вблизи твердой стенки, решение ищется в автомодельном виде:  $u(x, y) = G(y) + xF'(y)$ ,  $v(x, y) = F(y)$ ,  $u_s(x, y) = H(y) + xZ(y)$ ,  $v_s(x, y) = Q(y)$ ,  $n_s(x, y) = N(y)$ . Это позволяет свести (1) к краевой задаче ОДУ девятого порядка, решение которой находится численно, итерациями по параметру  $\alpha$  при фиксированном значении параметра  $\beta$ . В результате численных расчетов найдено два возможных режима течения: с наличием и без инерционного осаждения частиц на стенку. На Рис. 1(б) представлена рассчитанная зависимость критического значения параметра инерционности частиц  $\beta_c$ , разделяющего два возможных режима течения. При  $\beta \geq \beta_c$  частицы движутся без осаждения, формируя вблизи стенки зону с высокой, но конечной числовой концентрацией частиц (Рис. 1(г), кривая 1). В случае достаточно инерционной дисперсной примеси при  $\beta < \beta_c$  концентрация не сильно меняется при приближении к стенке (Рис. 1(г), кривая 2). Если в этом случае предположить, что частицы отражаются от стенки по зеркальному закону, то огибающей отраженных частиц является прямая линия, концентрация дисперсной фазы на которой стремится к бесконечности интегрируемым образом.

Для конечных значений  $\mu$  задача решается при  $\alpha \ll 1$ . В этом случае параметры течения несущей фазы находятся отдельно от дисперс-

ной фазы. Следуя [2], ищем решение в автомодельном виде:  $u_i(x, y) = g_i(y) + x f'_i(y)$ ,  $v_i(x, y) = -f_i(y)$ . После подстановки в (1) получается краевая задача десятого порядка, которая при помощи специальной процедуры сводится к нескольким задачам Коши. При вычислении параметров дисперсной фазы используется полный лагранжев метод [3], позволяющий по известному полю скоростей несущей фазы вычислить все параметры дисперсной фазы, включая числовую концентрацию, вдоль траекторий движения дисперсных включений. Найдены два возможных режима течения: течение без проникновения частиц во второй поток и течение с проникновением частиц. В первом случае частицы осциллируют около линии раздела с уменьшающейся амплитудой проникновения. Огибающими траекторий частиц являются прямые линии, параллельные линии раздела. Числовая концентрация на этих прямых стремится к бесконечности (Рис. 1(в)). Во втором случае частицы скапливаются возле линии раздела, не пересекая ее, и формируют при этом линию с бесконечной числовой концентрацией (Рис. 1(г), кривая 3). Все данные особенности интегрируемы.

Значение параметра инерционности  $\beta_c$ , разделяющее два режима, найдено как функция  $\xi(\mu, \rho)$ . Значения  $\xi(\mu, \rho)$  приведены в Табл. 1. При  $\beta < 4\xi(\mu, \rho)$  частицы проникают во второй поток.

Таблица 1

$\rho$	0.1	0.5	1.0	5.0	$\rho$	0.1	0.5	1.0	5.0
$\mu = 0.1$	1.278	1.083	1.000	0.800	$\mu = 1.0$	1.671	1.182	1.000	0.648
$\mu = 0.5$	1.527	1.148	1.000	0.693	$\mu = 5.0$	2.069	1.264	1.000	0.561

### 3 Течение вблизи стационарной точки

Исследуется одномерное нестационарное течение запыленного газа вблизи стационарной точки. Поле скоростей несущей фазы в размерном виде вблизи такой точки представлено в следующей размерной форме, периодической по времени:  $u^*(x^*, t^*) = Ax^* \sin(\Omega t^*)$ . Обезразмеренные уравнения движения и неразрывности для частиц имеют вид:

$$\frac{\partial n_s}{\partial t} + \frac{\partial(n_s u_s)}{\partial x} = 0, \quad \text{St} \frac{du_s}{dt} = (x \sin(\omega t) - u_s), \quad \text{St} = \frac{mA}{6\pi\sigma\mu}, \quad \omega = \frac{\Omega}{A}. \quad (2)$$

Здесь  $\omega$  и  $\text{St}$  — безразмерная частота и число Стокса. В качестве масштабов длины, скорости, времени и числовой концентрации использованы  $L$ ,  $LA$ ,  $A^{-1}$  и  $n_{s0}$  соответственно. Для решения (2) также использовался полный лагранжев метод. В начальный момент предполагалось, что частицы не

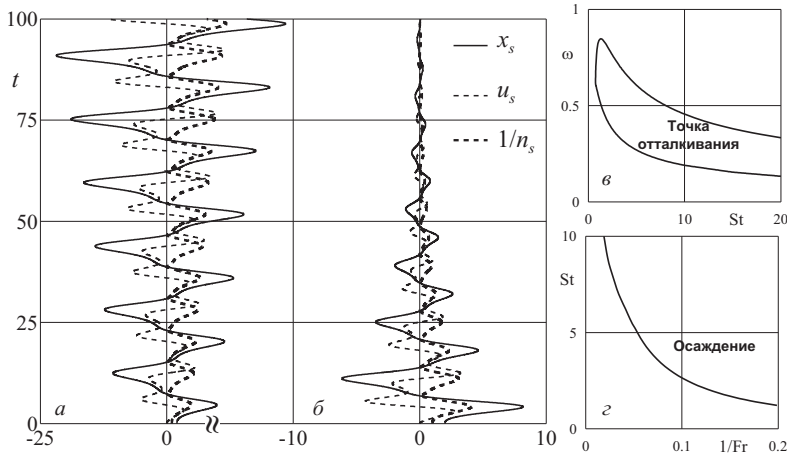


Рис. 2. Траектории, скорости и числовая концентрация дисперсной примеси вдоль траектории при  $St = 1.0$ : для  $\omega = 0.8$  (а) и  $\omega = 0.9$  (б). Границы режимов: для течения вблизи стационарной точки (в), для течения с локализованной завихренностью при  $d_1 = 2$ ,  $T_{\max} = 100$  (г).

имеют скоростного отставания от несущей фазы, и концентрация является постоянной величиной.

На основе численных решений выявлено два качественно различных типа поведения дисперсной фазы, когда стационарная точка является точкой отталкивания (Рис. 2(а)) и точкой притяжения (Рис. 2(б)). В первом случае амплитуда колебания частицы увеличивается с течением времени и при каждом приближении к стационарной точке числовая концентрация возрастает до бесконечности. Во втором случае траектории частицы с течением времени все меньше отходят от стационарной точки и числовая концентрация также возрастает до бесконечности в стационарной точке. Режим течения, время пересечения частицей стационарной точки и числовая концентрация не зависят от начального значения координаты частицы. На Рис. 2(в) изображена граница раздела двух режимов. Вычислено  $St_{\min} = 0.7487$ , меньше которого стационарная точка является точкой притяжения для любого значения  $\omega$ .

#### 4 Течение с локализованной завихренностью

Рассматривается задача о гравитационном осаждении облака дисперсной примеси на фоне несущей фазы, поле скоростей которой имеет вид стационарного вихревого течения Кельвина типа «кошачий глаз» [4] с функцией тока  $\psi = \ln(d_1 \cos(x) + d_2 \operatorname{ch}(y))$ ,  $d_2 = \sqrt{d_1^2 - 1}$  (Рис. 3(а)). Уравнения дви-

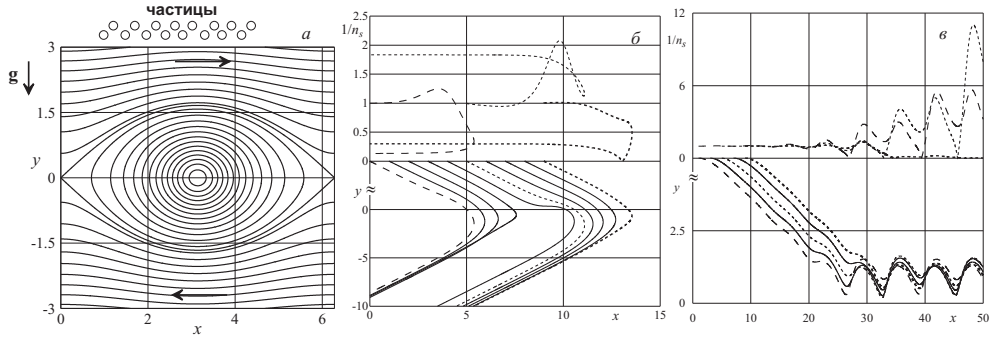


Рис. 3. Система координат и линии тока несущей фазы при  $d_1 = 2$  (а). Траектории и концентрация частиц вдоль траекторий при  $d_1 = 2$  для  $Fr = 1, St = 1$  (б) и  $Fr = 10, St = 2$  (в).

жения и неразрывности для частиц в безразмерной форме имеют вид:

$$\nabla \cdot (\mathbf{v}_s n_s) = 0, \quad (\mathbf{v}_s \cdot \nabla) \mathbf{v}_s = \frac{(\mathbf{v} - \mathbf{v}_s)}{St} - \frac{1}{Fr} \mathbf{j}.$$

Задача зависит от трех безразмерных параметров:  $d_1$ , числа Стокса  $St$  и числа Фруда  $Fr$ . По известному полю скоростей несущей фазы параметры дисперсной фазы, как и ранее, находятся с использованием полного лагранжева метода. В качестве граничных условий для облака частиц предполагаются равенство скоростей фаз и постоянство концентрации вдали от вихрей. На Рис. 3(а),(б) изображены траектории и распределения концентраций вдоль траекторий для двух характерных режимов течения: когда частицы оседают за время  $t < T_{max}$  и когда частицы не оседают за это время. В первом случае в некоторых точках траекторий концентрация дисперсной примеси может возрасти до бесконечности. Здесь наличие вихрей в течении ведет к возникновению зон пересекающихся траекторий частиц. В таких зонах концентрация частиц складывается из значений, рассчитанных вдоль каждой из пересекающихся траекторий. Во втором случае частицы собираются в тонкие зоны вблизи границы вихрей, где концентрация также может обращаться в бесконечность. Граница раздела двух режимов показана на Рис. 2(г). Для обоих режимов наличие вихрей в течении несущей фазы является причиной существенного перераспределения примеси, первоначально равномерно распределенной вдали от вихрей. Учет инерционности частиц в вихревом течении приводит к тому, что возникают зоны свободные от дисперсной примеси (внутри вихрей) и зоны с повышенной концентрацией примеси (на границах вихрей).

## 5 Заключение

Исследованы примеры течений запыленного газа с гидродинамическими особенностями несущей фазы, приводящими к появлению значительных неоднородностей концентрации дисперсной примеси. На основании численных расчетов исследованы возможные режимы течения и условия формирования локализованных зон накопления инерционных частиц.

## Список литературы

- [1] Marble F. E. Dynamics of dusty gases // *Annu Rev. Fluid. Mech.* 1970. V. 2. Pp. 397–446.
- [2] Tilley B. S., Weidman P. D. Oblique two-fluid stagnation-point flow // *Eur. J. Mech. B. Fluids.* 1998. V. 17, № 2. Pp. 205–217.
- [3] Osipov A. N. Lagrangian modelling of dust admixture in gas flows // *Astrophys. Space Sci.* 2000. V. 274, № 1–2. Pp. 377–386.
- [4] Stuart J. T. On finite amplitude oscillation in laminar mixing layer // *J. Fluid Mech.* V. 29. Pp. 417–440.